

Referências Bibliográficas

AKBAR, N., **Seismic Signatures of Reservoir Transport Properties and Pore Fluid Distribution**, tese de doutorado, Departamento de Geofísica, Universidade de Stanford, 1993.

AKBAR, N.; DVORKIN, J.; AND NUR, A., **Seismic Signatures of Reservoir Transport Properties and Pore Fluid Distribution**, Geophysics, vol. 58, p. 20-29, 1994.

ALBRIGHT, J.; CASSELS, B.; DANGERFIELD, J.; DEFLANDRE, J. P.; JOHNSTAD, S.; WINTERS, R.; **Seismic Surveillance for Monitoring Reservoir Changes**, Oilfield Review, p. 4-14, 1994.

BATZLE, M.; WANG, Z., **Seismic Properties of Pore Fluids**, Geophysics, Vol. 57, p. 1396–1408, 1992.

BATZLE, M., HAN, D. H., CASTAGNA, J. P., **Fluids and Frequency Dependent Seismic Velocity of Rocks**, The Leading Edge, Vol. 20, p. 168-171, 2001.

BEHRENS, R.; CONDON, P.; HAWORTH, W.; BERGERON, M.; WANG, Z., **Seismic Monitoring of Water Influx at Bay Marchand, The Practical Use of 4D in an Imperfect World**, SPE Reservoir Evaluation and Engineering, p. 410-420, AAPG Annual Meeting, 2002.

BIOT, M. A., **Theory of Propagation of Elastic Waves in a Fluid Saturated Porous Solid I. Low-Frequency Range**, Journal of the acoustical society of America, vol. 28, p.168-178, 1956a.

BIOT, M. A., **Theory of Propagation of Elastic Waves in a Fluid Saturated Porous Solid I. Higher-Frequency Range**, Journal of the acoustical society of America, vol. 28, p.179-191, 1956b.

BIOT, M. A., **Mechanics of Deformation and Acoustic Propagation in Porous Media**, Journal of applied physics, vol. 23, p.1482-1498, 1962.

BROWN, P. J., DEY-SAKAR, S., BATZLE, M., TANG, E., MCMECHAN, G., STEENSMA, G., PEETERS, M., **Biot Slow Wave Laboratory Detection and Seismic Response**, EAGE/SEG Research Workshop, Pau, France, 2001.

CADORET, T., **Effet de la Saturation Eau/Gaz sur les Propri' et es Acoustiques des Roches**, tese de doutorado, Universidade de Paris, 1993 . Apud Sengupta & Mavko, 2003; Knight et al, 1995, 1998; Mavko & Mukerji, 1998.

CALVERT, R., **Insights and Methods for 4D Reservoir Monitoring and Characterization**, Distinguished Instructor Short Course, SEG-EAGE, 2005a.

CALVERT, R., **4D Technology: Where Are We, and Where Are We Going?** Geophysical Prospecting, Blackwell Synergy, 2005b.

CHANG, Y. C.; MANI, V.; MOHANTY, K. K., **Effect of Wettability on Scale-Up of Multiphase Flow from Core-Scale to Reservoir Fine-Grid Scale**, R. Schatzinger & J. Jordan, Reservoir Characterization-Recent Advances, AAPG, p. 305-318, 1999.

CHAPMAN, M.; ZATSEPIN, S. V.; CRAMPIN, S., **Derivation of a Microstructural Poroelastic Model**, Geophysical Journal International, 151, 427-451.

CLAUDINO, C., **Modelagem Sísmica Time-lapse com Base em Dados de Simulação de Fluxo em Reservatórios**, tese de mestrado, Departamento de Geofísica, Universidade Federal da Bahia, 2007.

DVORKIN, J.; MAVKO, G.; NUR, N., **Squirt Flow in Fully Saturated Rocks**, Geophysics, Vol. 60, p. 97–107, 1995.

DOMENICO, S., **Effect of Brine-Gas Mixture on Velocity in an Unconsolidated Sand Reservoir**, Geophysics, Vol. 41, p. 882–894, 1976.

DVORKIN, J; MAVKO, G.; NUR, A., **Squirt Flow in Fully Saturated Rocks**, Geophysics, Vol. 60, p. 97–107, 1995.

EASTWOOD, J.; LEBEL, P., DILAY, A.; BLAKESLEE, S., **Estimates of Velocity Dispersion Between Seismic and Ultrasonic Frequencies**, Geophysics, Vol. 51, Assunto 1, p.183-189, 1986.

GHARBI, R. B., PETERS, E. J.; ELKAMEL, A.; AFZAL, N., **The Effect of Heterogeneity on the Performance of EOR Processes with Horizontal Wells**, SPE 38320, 1997.

GASSMANN, F., **Über Die Elastizität Poröser Medien (Elasticity of Porous Media)**. Vierteljahrsschrift der Naturforschenden Gesellschaft 96, p. 1–23, 1951. Versão da tradução: Janeiro 9, 1998.

GOSELIN, O. R.; MENEZES, O. R., **From Logs Scale to Reservoir Scale: Upscaling of the Petroelastic Model**, SPE Europec/EAGE Annual Conference and Exhibition, Vienna, Austria, 2006.

HAN, D. H., **Effects of Porosity and Clay Content on Acoustic Properties of Sandstones and Unconsolidated Sediments**, tese de doutorado, Departamento de Geofísica, Universidade de Stanford, 1986.

HAN, D. H., NUR A., **Effects of Porosity and Clay Content on Wave Velocity of Sandstones**, Geophysics, Vol. 51, p. 2093-2107, 1986,

HAN, D. H.; BATZLE, M. L., **Gassmann's Equation and Fluid-Saturation Effects on Seismic Velocities**, Geophysics, Vol. 69, Assunto 2, p. 398-405, 2004.

HASHIN, Z., AND SHTRIKMAN, S., **A Variational approach to the elastic behavior of multiphase materials**: J. Mech. Phys. Solids, vol. 11, p. 127–140, 1962. Apud Smith, 2003.

HILL, R., **Elastic Properties of Reinforced Solids: Some Theoretical Principles**, J. Mech. Phys. Solids, vol. 11, p. 357–372, 1963. Apud Packwood & Mavko, 1995.

HIRSHE, K.; **A Personal Perspective on the Past, Prsent and Future of Time-Lapse Seismic Monitoring**, CSEG Recorder Special Edition, p. 137-139, 2006.

JIZBA, D. L., **Mechanical and Acoustical Properties of Sandstones and Shales**, tese de doutorado, Departamento de Geofísica, Universidade de Stanford, 1991.

JONES, T. D., **Pore Fluids and Frequency-Dependent Wave Propagation**, Geophysics, vol. 51, p.1939-1953, 1986.

KNIGHT, R.; NOLEN-HOEKSEMA, **A Laboratory Study of the Dependence of Elastic Wave Velocities on Pore Scale Fluid Distribution**, Geophysical Research Letters (American Geophysical Union), Vol. 17, Assunto 10, 1990. Apud Knight, R., 1995.

KNIGHT, R.; DVORKIN, J.; NUR, A., **Seismic Signatures of Partial Saturation**, Expanded Abstracts with Authors' Biographies, SEG, International Exposition & 65 annual meeting, p. 870-873, 1995.

KNIGHT, R.; DVORKIN, J.; NUR, A., **Acoustic Signatures of Partial Saturation**, Geophysics, vol. 63, assunto 1, p. 132-138, 1998.

LUMLEY, D. E.; BEHRENS, R. A.; AND WANG, Z., **Assessing the technical risk of a 4-D seismic project**, The Leading Edge, vol. 16, p. 1287–1291, 1997.

LUMLEY, D. E.; BEHRENS, R. A., **Practical Issues of 4D Seismic Reservoir Monitoring: What an Engineer Needs to Know**, SPE Reservoir Evaluation & Engineering, 1998.

LUMLEY, D. E.; **Time-Lapse Seismic Reservoir Monitoring**, Geophysics, vol. 66, p.50-53, 2001.

MAVKO, G.; NUR, A., **Wave Attenuation in Partially Saturated Rocks**, Geophysics, vol. 44, p.161-179, 1979.

MAVKO, G.; JIZBA, D., **Estimating Grain-Scale Fluid Effects on Velocity Dispersion in Rocks**, Geophysics, vol. 56, p.1940-1949, 1991.

MAVKO, G.; MUKERJI, T. **Bounds on Low-Frequency Seismic Velocities in Partially Saturated Rocks**, Geophysics, vol. 63, p. 918–924, 1998.

MURPHY, F. WILLIAM III, **Effects of Partial Water Saturation on Attenuation in Massilon Sandstone and Vycor Porous Glass**, The Journal of the Acoustical Society of America, vol. 71, Assunto 6, p.1458-1468, 1982.

MURPHY, F. WILLIAM III, **Sonic and Ultrasonic Velocities: Theory Versus Experiment**, Geophysical Research Letters, vol. 12, p.85-88, 1985. Apud

REUSS, A., **Berechnung der Fliesgrenzen von Mischkristallen. Zeitschrift für Angewandte**, Mathematik und Mechanik, vol. 9, p. 49–58, 1929. Apud Pacwood,

PACKWOOD, J. L., **Rock Physics for Hydrocarbon Recovery Monitoring**, tese de doutorado, Departamento de Geofísica, Universidade de Stanford, Califórnia, 1997.

PACKWOOD, J. L.; MAVKO, G, **Seismic Signatures of Multiphase Reservoir Fluid Distributions: Application of Reservoir Monitoring**, Expanded Abstracts with Authors' Biographies, SEG, International Exposition & 65 annual meeting, p. 910-913, 1995.

SENGUPTA, M, **Integrating Rock Physics and Flow Simulation to Reduce Uncertainties in Seismic Reservoir Monitoring**, tese de doutorado, Departamento de Geofísica, Universidade de Stanford, Califórnia, 2000.

SENGUPTA, M.; MAVKO, G., **Impact of Flow-Simulation Parameters on Saturation Scales and Seismic Velocity**, Geophysics, vol. 68, p.1267-1280, 2003.

SENGUPTA, M.; MAVKO, G.; MUKERJI, T., **Quantifying Subresolution Saturation Scales from Time-Lapse Seismic Data: A Reservoir Monitoring Case Study**, Geophysics, vol. 68, p.803-814, 2003.

SMITH, T. M.; SONDERGELD, C. H.; RAI, C. S., **Gassmann Fluid Substitution: A Tutorial**, Geophysics, vol. 68, p.430-440, 2003.

STRANDENES, S., BLANGY, J. P., **Ultrasonic velocity measurements in Troll sandstones - Standford Rock Physics Proj.**, Vol. 47, A1-A54, 1991.

VASQUEZ, G. F.; DILLON, L. D., **Módulos Adiabáticos e Isotérmicos de Óleos Brutos**, 3º Congresso Internacional da Sociedade Brasileira de Geofísica, Rio de Janeiro, 1993.

VASQUEZ, G. F., **Comportamento Viscoelástico do Arenito Namorado e suas Relações com Atributos Faciológicos**, dissertação de mestrado, Departamento de Engenharia de Petróleo, Universidade Estadual de Campinas, Campinas, 2000.

WANG, Z., **Wave Velocities in Hydrocarbons and Hydrocarbons Saturated Rocks – With Applications to EOR Monitoring**, tese de doutorado, Departamento de Geofísica, Universidade de Stanford, Califórnia, 1988.

WANG, Z.; HIRSCH, W. K.; SEDGWICK, G., **Seismic Monitoring of Water Floods? - A Petrophysical Study**, Geophysics, vol. 56, p. 1614-1623, 1991.

WANG, Z., **The Gassmann Equation Revisited: Comparing Laboratory Data with Gassmann's Predictions**: Geophysics reprint series, Seismic and Acoustic Velocities of Reservoir Rocks, Vol.3, 2000.

WANG, Z., **Fundamentals of Rock Physics**, Geophysics, Vol. 66, Assunto 2, p. 398-412, 2001.

WANG, Z. & NUR, A., **Dispersion Analysis of Acoustic Velocities in Rocks**, Journal of the Acoustical Society of America, Vol. 87, p. 2384-2395, 1990.

WANG, Z. & NUR, A., **Elastic Wave Velocities in Porous Media: A Theoretical Recipe**. Wang, Z. and Nur, A. and Levin, F.K. Seismic and Acoustic Velocities in Reservoir Rocks, vol. 2, SEG Geophysics reprint series, 10, 1992.

WINKLER, K. W., **Estimates of Velocity Dispersion Between Seismic and Ultrasonic Frequencies**, Geophysics, Vol. 51, Assunto 1, p.183-189, 1986.

YIN, H., **Acoustic Velocity and Attenuation of Rocks: Isotropy, Intrinsic Anisotropy, and Stress-Induced Anisotropy**, tese de doutorado, Departamento de Geofísica, Universidade de Stanford, Califórnia, 1993.

APÊNDICE A

Programas Utilizados

A.1

UTCHEM

O UTCHEM é desenvolvido pelo Center for Petroleum and Geosystems Engineering - The University of Texas at Austin. Trata-se de um simulador de fluxo capaz de simular o comportamento de múltiplas fases (água, óleo, gás e microemulsão), transformações físicas e químicas, e propriedades de meios porosos. O UT-CHEM é um simulador de fluxo 3D cujo esquema de solução é do tipo IMPES (solução implícita da pressão e explícita em saturação). O método iterativo de gradiente conjugado, usado no cálculo da equação de pressão, é altamente recomendado para simulações em malha fina com um grande número de blocos.

O simulador modela o fluxo de fluido de diversas fases, e pode ter múltiplos componentes como água, óleo, gás, surfactante, gel, entre outros. Capilaridade e efeitos gravitacionais podem ser modelados pelo UT-CHEM. O simulador tem sido utilizado desde 1978 até o presente na indústria do petróleo, e tem sido submetido a testes rigorosos que demonstram sua capacidade.

O UTCHEM tem uma interface amigável (Fig. A.1) para introduzir dados da malha, propriedades do reservatório, propriedades físicas e detalhes do modelo de injeção utilizados. As modificações também podem ser editadas diretamente no arquivo .TXT. Os mapas com os resultados da simulação podem ser construídos através do SURFER® ou o MATLAB®.

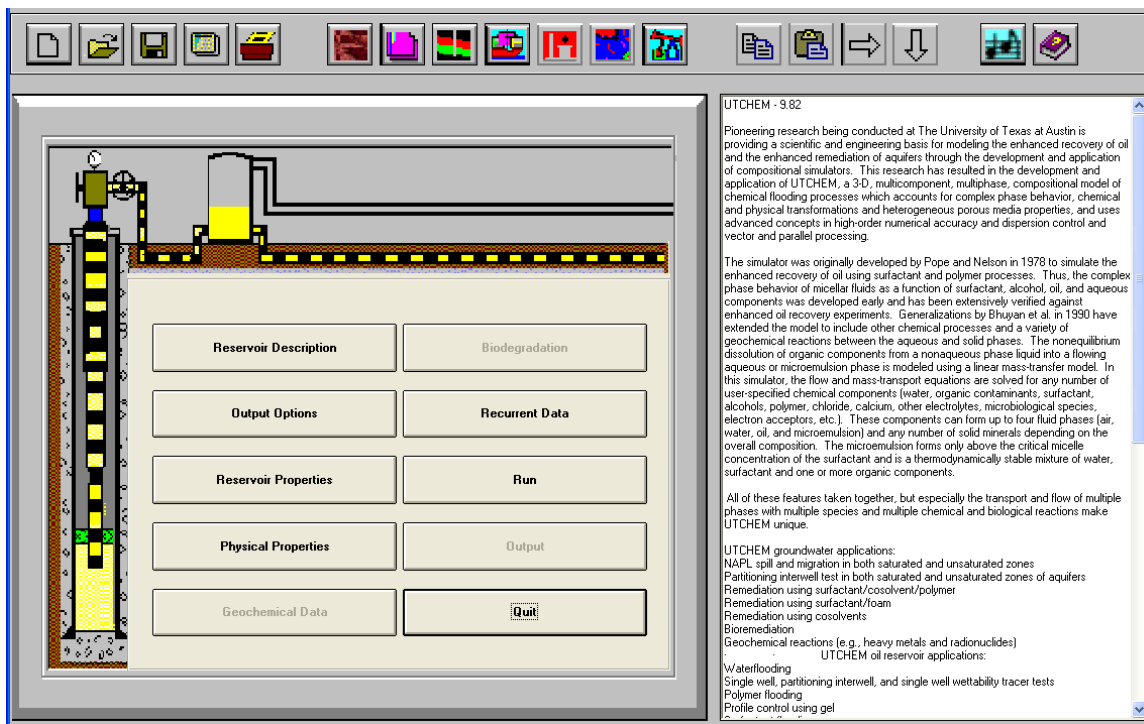


Figura A.1 – Interface UTCHEM.

A.2 TESSERAL

O programa TESSERAL é um simulador de diferenças finitas que permite a modelagem de campos sísmicos e acústicos. No seu esquema metodológico, a propagação das ondas é calculada como uma distribuição de tensões e deslocamentos locais e instantâneos que mudam com relação ao tempo em toda a seção. Este método é diferente ao do traçamento de raios, onde cada raio é calculado como uma seqüência de pontos que progridem com o tempo e seguem a direção normal à frente de onda, sendo que, o cálculo para cada parte do raio se faz separadamente.

O TESSERAL permite as seguintes operações:

- Construir modelos de densidade/velocidade a partir de seções geológicas e posterior modelagem.
- Calcular sismogramas sintéticos e series de tiros para modelagem de incidência vertical (propagação vertical da energia sísmica)
- Modelar os efeitos da onda no meio heterogêneo.
- Modelar os efeitos da onda 2D em situações geológicas reais.
- Incluir os efeitos da onda de cisalhamento e onda convertida.

- Considerar anisotropia.
- Modelar absorção da energia sísmica pelo meio.
- Visualização dos resultados da modelagem.

A.3 **HYDRO_GEN**

O HYDRO_GEN é um código computacional criado para gerar um atributo distribuído $z(x)$, onde x denota a coordenada espacial, a qual é modelada como uma função do espaço aleatória (RSF, Random Space Function), $Z(x)$, com uma função de covariância atribuída. Na última versão, o código gera duas RSF com seis tipos de correlação espacial: 1) função de covariância discreta; 2) função de covariância exponencial; 3) função de covariância Gaussiana; 4) função de covariância de Wittle isotrópica; 5) função de covariância de Mizell isotrópica (tipo B), (Mizell *et al.*, 1982); 6) Fractal. No trabalho foi utilizada a função de covariância Gaussiana. Os arquivos de entrada devem ser compilados usando Fortran 77.

Existem dois fatores essenciais para levar em conta antes da escolha de um modelo estocástico: a sua capacidade para reproduzir momentos espaciais prescritos e o tempo computacional associado, o qual é proporcional às dimensões do campo simulado. Bellin & Rubin (1996) desenvolveram o código HYDRO_GEN (1996) e demonstraram que esse dois objetivos tem sido amplamente respeitados.

O código pode ser encontrado no endereço:

<http://www.ing.unitn.it/~bellin/frames/hydrogen.php>

APÊNDICE B

Rotinas MATLAB: Modelos de Saturação Homogêneo e Heterogêneo

Nesta seção são apresentadas as rotinas desenvolvidas no MATLAB® para fazer as análises da variação da velocidade compressional segundo a saturação de gás, para os modelos de saturação heterogêneo e homogêneo mostradas no Capítulo 3. Através destas implementações foram obtidas a janelas de incerteza, definida pelo limite superior ou heterogêneo e o inferior ou homogêneo, para os diferentes cenários propostos.

B.1

Arenito Beaver – Efeito da Escala

```
%%%%%%%%%%%%%%%
% CALCULO DA VELOCIDADE VP EM FUNÇÃO DA SATURAÇÃO DE GAS
% INJEÇÃO DE GAS ARENITO BEAVER
%%%%%%%%%%%%%%%
c = 0;
Kw = 2.25; % modulo Bulk da agua
Kg = 0.0015; % modulo Bulk do gas
rho_w = 1; % densidade da agua
rho_gas = 0.09; % densidade do gas

API = 15;
rho_oleo = 141.5/(131.5 + API);
phi = 0.0636; %ok
G = 20.8; % modulo cisalh da rocha seca para 5Mpa(GPa)
Kd = 16.08; % modulo Bulk da rocha seca para 5Mpa(GPa)
Ko = 35; % modulo Bulk do mineral

rhog = 2.466; % densidade do grão
rhod = rhog*(1 - phi) % densidade da rocha seca

Koleo = Kw;
rho_oleo = rho_w;

% VARIANDO A SATURAÇÃO DA ÁGUA DE 0 A 1

j=1;
```

```

for i=0:0.01:1 ,
Sgas(j) = i;

% DENSIDADE DO FLUIDO (AGUA E GAS)
rhofl(j) = Sgas(j)*rho_gas + (1-Sgas(j))*rho_oleo;

% DENSIDADE DA ROCHA SATURADA
rhoBsat(j) = rhofl(j)*phi + rhog*(1 - phi);

% MODULO BULK DO FLUIDO(AGUA E GAS)
KflH(j) = (Sgas(j)*(Kg^(-1)) + (1-Sgas(j))*(Koleo^(-1)))^(-1);

% MODULO BULK DO FLUIDO(AGUA E GAS)
Kfl = KflH(j);

% MODULO BULK DA ROCHA SATURADA (EQUACAO DE GASSMAN)
Ksat(j) = Kd + (((1-(Kd/Ko))^2)/(phi/Kfl + (1-phi)/Ko - Kd/(Ko^2)));

```

% CALCULO DE VP e VS

```
vpsat2H(j) = ((Ksat(j) + (4/3)*G)/rhoBsat(j))^(1/2);
```

CURVA SUPERIOR: PATCHY SATURATION %%%%%%

% MODULO BULK DA ROCHA TOTALMENTE SATURADA DE GAS DE MODULO KG

```
Kfl1 = Kg;
```

```
K1 = Ko*(phi*Kd - (1+phi)*Kfl1*Kd/Ko + Kfl1)/((1-phi)*Kfl1 + phi*Ko - Kfl1*Kd/Ko);
```

% MODULO BULK DA ROCHA TOTALMENTE SATURADA DE AGUA

```
Kfl2 = Koleo;
```

```
K2 = Ko*( phi*Kd - (1+phi)*Kfl2*Kd/Ko +Kfl2)/((1-phi)*Kfl2 + phi*Ko - Kfl2*Kd/Ko);
```

% CALCULO DE VP e VS

```
vpsat2P(j) = (((Sgas(j)*((K1 + (4/3)*G)^(-1)) + (1-Sgas(j))*((K2 + (4/3)*G)^(-1)))^(-1))/rhoBsat(j))^(1/2);
```

```
j=j+1;
end
```

GRAFICO %%%%%%

```
set(0,'DefaultAxesXgrid','on');
set(0,'DefaultAxesXgrid','on');
set(0,'DefaultAxesXgrid','on');
```

```
figure(1),plot(Sgas,vpsat2H,'r:',Sgas,vpsat2P,'b-')
legend('Vp_H','Vp_P');
xlabel('S_g_a_s');
ylabel('V_p (Km/s);');
```

B.2

Chert Monterrey – Efeito da Temperatura

B.2.1 Óleo Leve

```
%%%%%%%%%%%%%%%
% CALCULO DA VELOCIDADE VP EM FUNÇÃO DA SATURAÇÃO DE GAS
%%%%%%%%%%%%%%%
```

clear all

% Propriedades dos fluidos PAPER BATZLE Pp=10 MPa
% SUBINDICE W SE REFERE A OLEO!!!

% PARA 25 C

rho_gas1 = 0.09; % densidade do gas
Kg1 = 0.02; % modulo Bulk do gas (GPa)

rho_w1 = 0.78; % densidade do óleo
Kw1 = 1.272; % MODULO BULK do óleo (GPa)

% PARA 125 C

rho_gas2 = 0.06; % densidade do gas
Kg2 = 0.02; % modulo Bulk do gas (GPa)

Kw2 = 0.7; % MODULO BULK do óleo (GPa)
rho_w2 = 0.72; % densidade do óleo

% PARAMETROS SEGUNDO TESE WANG MONTERREY PARA EFETIVA 15 MPa
% PARA 25 C

phi1 = 0.15; %
G1 = 8.26; % varia bastante com a temperatura
Kd1 = 7.56; % modulo Bulk da rocha seca (GPa) varia pouco com a temperatura
Ko = 37; % MODULO BULK do mineral
%rhog = 2.65; % densidade do grao
rhod1 = 2.04; % densidade da rocha seca

rhog1 = 2.4;

% CONSIDERANDO SOMENTE VARIAÇÃO DAS PROPR DOS FLUIDOS:

```
phi2 = phi1; %
G2 = G1; %
Kd2 = Kd1; % modulo Bulk da rocha seca (GPa)
rhod2 = rhod1; % densidade da rocha seca
```

```
rhog2 = rhog1;
```

```
%%%%%%%%%%%%%
% MODELO 1
% T = 25
```

CURVA INFERIOR: HOMOGENEOUS SATURATION %%%%%%

% VARIANDO A SATURACAO DA AGUA DE 0 A 1

```
j=1;
```

```
for i=0:0.02:1 ,
```

```
Sgas(j) = i;
```

% DENSIDADE DO FLUIDO (AGUA E GAS)
 $\text{rhofl1}(j) = Sgas(j)*\rho_{\text{gas}1} + (1-Sgas(j))*\rho_{w1};$

% MODULO BULK DO FLUIDO(AGUA E GAS)
 $KflH1(j) = (Sgas(j)*(Kg1^{(-1)}) + (1-Sgas(j))*(Kw1^{(-1)}))^{(-1)};$

% DENSIDADE DA ROCHA SATURADA
 $\rho_{Bsat1}(j) = \text{rhofl1}(j)*\phi_1 + \rho_{g1}*(1 - \phi_1);$

% MODULO BULK DO FLUIDO(AGUA E GAS)
 $Kfluido1 = KflH1(j);$

% MODULO BULK DA ROCHA SATURADA (EQUACAO DE GASSMAN)
 $Ksat1(j) = Kd1 + (((1-(Kd1/Ko))^2)/(\phi_1/Kfluido1 + (1-\phi_1)/Ko - Kd1/(Ko^2)));$

% CALCULO DE VP e VS

```
vpsat2H1(j) = ((Ksat1(j) + (4/3)*G1)/rhoBsat1(j))^(1/2);
```

CURVA SUPERIOR: PATCHY SATURATION %%%%%%

% MODULO BULK DA ROCHA TOTALMENTE SATURADA DE GAS DE MODULO KG

```
Kfl1 = Kg1;
```

$K1 = Ko * (\phi_1 * Kd1 - (1 + \phi_1) * Kf1 * Kd1 / Ko + Kf1) / ((1 - \phi_1) * Kf1 + \phi_1 * Ko - Kf1 * Kd1 / Ko);$

% MODULO BULK DA ROCHA TOTALMENTE SATURADA DE AGUA
 $Kf2 = Kw1;$

$K2 = Ko * (\phi_1 * Kd1 - (1 + \phi_1) * Kf2 * Kd1 / Ko + Kf2) / ((1 - \phi_1) * Kf2 + \phi_1 * Ko - Kf2 * Kd1 / Ko);$

% CALCULO DE VP

$vpsat2P1(j) = (((Sgas(j) * ((K1 + (4/3) * G1) ^ (-1)) + (1 - Sgas(j)) * ((K2 + (4/3) * G1) ^ (-1))) ^ (-1)) / rhoBsat1(j)) ^ (1/2);$

%%%%%%%

% MODELO 2

% t = 125

CURVA INFERIOR: HOMOGENEOUS SATURATION %%%%%%

% DENSIDADE DO FLUIDO (AGUA E GAS)

$rhofl2(j) = Sgas(j) * rho_gas2 + (1 - Sgas(j)) * rho_w2;$

% MODULO BULK DO FLUIDO(AGUA E GAS)

$KflH2(j) = (Sgas(j) * (Kg2 ^ (-1)) + (1 - Sgas(j)) * (Kw2 ^ (-1))) ^ (-1);$

% DENSIDADE DA ROCHA SATURADA AQUI ERROR EM RHOFL!!!

$rhoBsat2(j) = rhofl2(j) * phi2 + rhog2 * (1 - phi2);$

% MODULO BULK DO FLUIDO(AGUA E GAS)

$Kfluido2 = KflH2(j);$

% MODULO BULK DA ROCHA SATURADA (EQUACAO DE GASSMAN)

$Ksat2(j) = Kd2 + (((1 - (Kd2 / Ko))^2) / (phi2 / Kfluido2 + (1 - phi2) / Ko - Kd2 / (Ko^2)));$

% CALCULO DE VP e VS

$vpsat2H2(j) = ((Ksat2(j) + (4/3) * G2) / rhoBsat2(j)) ^ (1/2);$

CURVA SUPERIOR: PATCHY SATURATION %%%%%%

% MODULO BULK DA ROCHA TOTALMENTE SATURADA DE GAS DE MODULO KG

$Kfl11 = Kg2;$

$K11 = Ko * (\phi_2 * Kd2 - (1 + \phi_2) * Kf11 * Kd2 / Ko + Kf11) / ((1 - \phi_2) * Kf11 + \phi_2 * Ko - Kf11 * Kd2 / Ko);$

% MODULO BULK DA ROCHA TOTALMENTE SATURADA DE AGUA

```
Kfl22 = Kw2;
K22 = Ko*( phi2*Kd2 - (1+phi2)*Kfl22*Kd2/Ko + Kfl22)/((1-phi2)*Kfl22 + phi2*Ko - Kfl22*Kd2/Ko);
```

% CALCULO DE VP e VS

```
vpsat2P2(j) = (((Sgas(j)*((K11 + (4/3)*G2)^(-1)) + (1-Sgas(j))*((K22 + (4/3)*G2)^(-1)))^(-1))/rhoBsat2(j))^^(1/2);
```

```
%%%%%%%%%%%%%%%
% DIFERENÇA ENTRE Vp PATCHY E HOMOGENEA PARA CADA PRESSAO
%%%%%%%%%%%%%%%
```

```
c = max(vpsat2P1);
vp30(j) = ((vpsat2P1(j) - vpsat2H1(j))*100)/c;
```

```
d = max(vpsat2P2);
vp10(j) = ((vpsat2P2(j) - vpsat2H2(j))*100)/d;
```

```
j=j+1;
end
```

GRAFICO %%%%%%

```
figure(1),plot(Sgas,vpsat2H1,'b^-',Sgas,vpsat2P1,'b^-',
'Sgas,vpsat2H2,'ro:',Sgas,vpsat2P2,'ro-')
legend('Vp_H 25C','Vp_P 25C','Vp_H 125C','Vp_P 125C');
xlabel('S_g');
ylabel('V_p (Km/s)');
```

```
figure(3),plot(Sgas, vp30, 'b^-', Sgas, vp10, 'r:o')
legend('25C','125C');
xlabel('S_g');
ylabel('Diferença (%)');
```

B.2.2 Óleo Pesado

```
%%%%%%%%%%%%%
% CALCULO DA VELOCIDADE VP EM FUNÇÃO DA SATURAÇÃO DE GAS
%%%%%%%%%%%%%
```

clear all

% Propriedades dos fluidos PAPER BATZLE Pp=10 MPa para óleo pesado

% SUBINDICE W SE REFERE A OLEO!!!

% PARA 25 C

rho_gas1 = 0.09; % densidade do gas
Kg1 = 0.01; %0.02; % modulo Bulk do gas (GPa)

rho_w1 = 1; % densidade do óleo

Kw1 = 2.55; % MODULO BULK do óleo (GPa)

% PARA 125 C

rho_gas2 = 0.06; % densidade do gas
Kg2 = 0.01; %0.02; % modulo Bulk do gas (GPa)

Kw2 = 1.4; % MODULO BULK do óleo (GPa)

rho_w2 = 0.925; % densidade do óleo

% PARAMETROS SEGUNDO TESE WANG MONTERREY PARA EFETIVA 15 MPA

% PARA 25 C

phi1 = 0.15; %

G1 = 8.26; % varia bastante com a temperatura

Kd1 = 7.56; % modulo Bulk da rocha seca (GPa) varia pouco com a temperatura

Ko = 37; % MODULO BULK do mineral

%rhog = 2.65; % densidade do grao

rhod1 = 2.04; % densidade da rocha seca

rhog1 = 2.4;

% PARAMETROS SEGUNDO TESE WANG MONTERREY DOLOMITA PARA

EFETIVA 15 MPA

% PARA 125 C

phi2 = 0.15; %

G2 = 7.65; %

Kd2 = 6.26; % modulo Bulk da rocha seca (GPa)

rhod2 = 2.26; % densidade da rocha seca

rhog2 = 2.65;

%%%%%%%%%%%%%%

% MODELO 1

% T = 25

CURVA INFERIOR: HOMOGENEOUS SATURATION %%%%%%%%%%%%%%

% VARIANDO A SATURACAO DA AGUA DE 0 A 1

```

j=1;

for i=0:0.02:1 ,
Sgas(j) = i;

% DENSIDADE DO FLUIDO (AGUA E GAS)
rhofl1(j) = Sgas(j)*rho_gas1 + (1-Sgas(j))*rho_w1;

% MODULO BULK DO FLUIDO(AGUA E GAS)
KflH1(j) = (Sgas(j)*(Kg1^(-1)) + (1-Sgas(j))*(Kw1^(-1)))^(-1);

% DENSIDADE DA ROCHA SATURADA
rhoBsat1(j) = rhofl1(j)*phi1 + rhog1*(1 - phi1);

% MODULO BULK DO FLUIDO(AGUA E GAS)
Kfluido1 = KflH1(j);

% MODULO BULK DA ROCHA SATURADA (EQUACAO DE GASSMAN)
Ksat1(j) = Kd1 + (((1-(Kd1/Ko))^2)/(phi1/Kfluido1 + (1-phi1)/Ko - Kd1/(Ko^2)));

% CALCULO DE VP e VS

vpsat2H1(j) = ((Ksat1(j) + (4/3)*G1)/rhoBsat1(j))^(1/2);

CURVA SUPERIOR: PATCHY SATURATION %%%%%%%

% MODULO BULK DA ROCHA TOTALMENTE SATURADA DE GAS DE MODULO
KG

Kfl1 = Kg1;

K1 = Ko*(phi1*Kd1 - (1+phi1)*Kfl1*Kd1/Ko + Kfl1)/((1-phi1)*Kfl1 + phi1*Ko -
Kfl1*Kd1/Ko);

% MODULO BULK DA ROCHA TOTALMENTE SATURADA DE AGUA

Kfl2 = Kw1;

K2 = Ko*( phi1*Kd1 - (1+phi1)*Kfl2*Kd1/Ko +Kfl2)/((1-phi1)*Kfl2 + phi1*Ko -
Kfl2*Kd1/Ko);

% CALCULO DE VP

vpsat2P1(j) = (((Sgas(j)*((K1 + (4/3)*G1)^(-1)) + (1-Sgas(j))*((K2 + (4/3)*G1)^(-1))))^(-1))/rhoBsat1(j))^(1/2);

```

```

%%%%%%%
% MODELO 2
% t = 125

CURVA INFERIOR: HOMOGENEOUS SATURATION %%%%%%%%
%%%%%%%

% DENSIDADE DO FLUIDO (AGUA E GAS)
rhofl2(j) = Sgas(j)*rho_gas2 + (1-Sgas(j))*rho_w2;

% MODULO BULK DO FLUIDO(AGUA E GAS)
KflH2(j) = (Sgas(j)*(Kg2^-1)) + (1-Sgas(j))*(Kw2^-1))^-1;

% DENSIDADE DA ROCHA SATURADA AQUI ERROR EM RHOFL!!!
rhoBsat2(j) = rhofl2(j)*phi2 + rhog2*(1 - phi2);

% MODULO BULK DO FLUIDO(AGUA E GAS)
Kfluido2 = KflH2(j);

% MODULO BULK DA ROCHA SATURADA (EQUACAO DE GASSMAN)
Ksat2(j) = Kd2 + ((1-(Kd2/Ko))^2)/(phi2/Kfluido2 + (1-phi2)/Ko - Kd2/(Ko^2));

% CALCULO DE VP e VS

vpsat2H2(j) = ((Ksat2(j) + (4/3)*G2)/rhoBsat2(j))^(1/2);

CURVA SUPERIOR: PATCHY SATURATION %%%%%%%%
%%%%%%%

% MODULO BULK DA ROCHA TOTALMENTE SATURADA DE GAS DE MODULO KG
Kfl11 = Kg2;

K11 = Ko*(phi2*Kd2 - (1+phi2)*Kfl11*Kd2/Ko + Kfl11)/((1-phi2)*Kfl11 + phi2*Ko - Kfl11*Kd2/Ko);

% MODULO BULK DA ROCHA TOTALMENTE SATURADA DE AGUA

Kfl22 = Kw2;

K22 = Ko*(phi2*Kd2 - (1+phi2)*Kfl22*Kd2/Ko + Kfl22)/((1-phi2)*Kfl22 + phi2*Ko - Kfl22*Kd2/Ko);

% CALCULO DE VP e VS

vpsat2P2(j) = (((Sgas(j)*((K11 + (4/3)*G2)^-1)) + (1-Sgas(j))*((K22 + (4/3)*G2)^-1)))^-1/rhoBsat2(j))^(1/2);

%%%%%%%
% DIFERENÇA ENTRE Vp PATCHY E HOMOGENEA PARA CADA PRESSAO
%%%%%%%
c = max(vpsat2P1);
vp30(j) = ((vpsat2P1(j) - vpsat2H1(j))*100)/c;

d = max(vpsat2P2);

```

```

vp10(j) = ((vpsat2P2(j) - vpsat2H2(j))*100)/d;

j=j+1;
end

GRAFICO %%%%%%%%
figure(1),plot(Sgas,vpsat2H1,'b^:',Sgas,vpsat2P1,'b^-'
,'Sgas,vpsat2H2,'ro:',Sgas,vpsat2P2,'ro-')
legend('Vp_H 25C','Vp_P 25C','Vp_H 125C','Vp_P 125C');
xlabel('S_g');
ylabel('V_p (Km/s)');

figure(3),plot(Sgas, vp30, 'b^:', Sgas, vp10, 'r:o')
legend('25C','125C');
xlabel('S_g');
ylabel('Diferença (%)');

```

B.2.3 Óleo Leve versus Pesado

```

%%%%%
% CALCULO DA VELOCIDADE VP EM FUNÇÃO DA SATURAÇÃO DE GAS
%%%%%

```

clear all

```

% Propriedades dos fluidos PAPER BATZLE
% SUBINDICE W SE REFERE A ÓLEO!!!

```

```

%-----
% FLUIDOS PARA 10 MPa
%-----

```

% GÁS LEVE PARA 125 C PP=10 MPa

```

rho_gas1 = 0.06; % densidade do gas
rho_gas3 = rho_gas1; % densidade do gas

```

```

Kg1 = 0.02; % modulo Bulk do gas (GPa)
Kg3 = Kg1; % modulo Bulk do gas (GPa)

```

% GÁS LEVE PARA 25 C PP=10 MPa

```

rho_gas2 = 0.09; % densidade do gas
rho_gas4 = rho_gas2; % densidade do gas

```

```

Kg2 = 0.02; % modulo Bulk do gas (GPa)
Kg4 = Kg2; % modulo Bulk do gas (GPa)

```

% OLEO 10 API PARA 125 C PP=10 MPA

Kw1 = 1.4; % MODULO BULK do óleo (GPa)
rho_w1 = 0.925; % densidade do óleo

% OLEO 10 API PARA 25 C PP=10 MPA

Kw2 = 2.55; % MODULO BULK do óleo (GPa)
rho_w2 = 1; % densidade do óleo

% OLEO 50 API PARA 125 C PP=10 MPA

Kw3 = 0.7; % MODULO BULK do óleo (GPa)
rho_w3 = 0.72; % densidade do óleo

% OLEO 50 API PARA 25 C PP=10 MPA

Kw4 = 1.272; % MODULO BULK do óleo (GPa)
rho_w4 = 0.78; % densidade do óleo

% PARAMETROS SEGUNDO TESE WANG MONTERREY DOLOMITA PARA
EFETIVA 15 MPa
% PARA 125 C

phi1 = 0.15; %
phi3 = phi1; %

G1 = 7.65; %
G3 = G1; %

Kd1 = 6.26; % modulo Bulk da rocha seca (GPa)
Kd3 = Kd1; % modulo Bulk da rocha seca (GPa)

rhod1 = 2.26; % densidade da rocha seca
rhod3 = rhod1; % densidade da rocha seca

rhog1 = 2.65;
rhog3 = rhog1;

Ko = 37; % MODULO BULK do mineral

% PARAMETROS SEGUNDO TESE WANG MONTERREY PARA EFETIVA 15 MPa
% PARA 25 C

phi2 = 0.15; %
phi4 = phi2; %

G2 = 8.26; % varia bastante com a temperatura
G4 = G2; % varia bastante com a temperatura

Kd2 = 7.56; % modulo Bulk da rocha seca (GPa) varia pouco com a temperatura

Kd4 = Kd2; % modulo Bulk da rocha seca (GPa) varia pouco com a temperatura

rhod2 = 2.04; % densidade da rocha seca
 rhod4 = rhod2; % densidade da rocha seca

rhog2 = 2.4;
 rhog4 = rhog2;

% CONSIDERANDO SOMENTE VARIAÇÃO DAS PROPR DOS FLUIDOS:

% G2 = G1; %
 % G3 = G1; %
 % Kd2 = Kd1; % modulo Bulk da rocha seca (GPa)
 % Kd3 = Kd1; % modulo Bulk da rocha seca (GPa)
 % rhod2 = rhod1; % densidade da rocha seca
 % rhod3 = rhod1; % densidade da rocha seca
 % rhog2 = rhog1;
 % rhog3 = rhog1;

%%%%%%%%%%%%%

% MODELO 1
 % oleo 10 API 125C

CURVA INFERIOR: HOMOGENEOUS SATURATION %%%%%%

% Kg1 = Kw1;
 % rho_gas1 = rho_w1;

% VARIANDO A SATURACAO DA AGUA DE 0 A 1

j=1;

for i=0:0.02:1 ,

Sgas(j) = i;

% DENSIDADE DO FLUIDO (AGUA E GAS)
 rhofl1(j) = Sgas(j)*rho_gas1 + (1-Sgas(j))*rho_w1;

% MODULO BULK DO FLUIDO(AGUA E GAS)
 KflH1(j) = (Sgas(j)*(Kg1^(-1)) + (1-Sgas(j))*(Kw1^(-1)))^(-1);

% DENSIDADE DA ROCHA SATURADA
 rhoBsat1(j) = rhofl1(j)*phi1 + rhog1*(1 - phi1);

% MODULO BULK DO FLUIDO(AGUA E GAS)
 Kfluido1 = KflH1(j);

% MODULO BULK DA ROCHA SATURADA (EQUACAO DE GASSMAN)
 $K_{sat1}(j) = K_{d1} + (((1-(K_{d1}/K_o))^2)/(phi_1/K_{fluido1} + (1-phi_1)/K_o - K_{d1}/(K_o^2)));$

% CALCULO DE VP e VS

$v_{psat2H1}(j) = ((K_{sat1}(j) + (4/3)*G1)/rho_{Bsat1}(j))^{(1/2)};$

CURVA SUPERIOR: PATCHY SATURATION %%%%%%%%

% MODULO BULK DA ROCHA TOTALMENTE SATURADA DE GAS DE MODULO KG

$K_{fl1} = K_{g1};$

$K1 = K_o * (phi_1 * K_{d1} - (1+phi_1) * K_{fl1} * K_{d1} / K_o + K_{fl1}) / ((1-phi_1) * K_{fl1} + phi_1 * K_o - K_{fl1} * K_{d1} / K_o);$

% MODULO BULK DA ROCHA TOTALMENTE SATURADA DE AGUA

$K_{fl2} = K_w1;$

$K2 = K_o * (phi_1 * K_{d1} - (1+phi_1) * K_{fl2} * K_{d1} / K_o + K_{fl2}) / ((1-phi_1) * K_{fl2} + phi_1 * K_o - K_{fl2} * K_{d1} / K_o);$

% CALCULO DE VP

$v_{psat2P1}(j) = (((S_{gas}(j) * ((K1 + (4/3)*G1)^{-1}) + (1-S_{gas}(j)) * ((K2 + (4/3)*G1)^{-1}))^{-1}) / rho_{Bsat1}(j))^{(1/2)};$

%%%%%%%%%%%%%

% MODELO 2

% OLEO 10 API 25C

CURVA INFERIOR: HOMOGENEOUS SATURATION %%%%%%%%

% DENSIDADE DO FLUIDO (AGUA E GAS)

$rho_{fl2}(j) = S_{gas}(j) * rho_{gas2} + (1-S_{gas}(j)) * rho_{w2};$

% MODULO BULK DO FLUIDO(AGUA E GAS)

$K_{flH2}(j) = (S_{gas}(j) * (Kg2^{-1}) + (1-S_{gas}(j)) * (Kw2^{-1}))^{-1};$

% DENSIDADE DA ROCHA SATURADA

$rho_{Bsat2}(j) = rho_{fl2}(j) * phi_2 + rho_{g2} * (1 - phi_2);$

% MODULO BULK DO FLUIDO(AGUA E GAS)

$K_{fluido2} = K_{flH2}(j);$

% MODULO BULK DA ROCHA SATURADA (EQUACAO DE GASSMAN)

$K_{sat2}(j) = K_d2 + (((1-(K_d2/K_o))^2)/(phi_2/K_{fluido2} + (1-phi_2)/K_o - K_d2/(K_o^2)));$

% CALCULO DE VP e VS

$v_{psat2H2}(j) = ((K_{sat2}(j) + (4/3)*G2)/rho_{Bsat2}(j))^{(1/2)};$

CURVA SUPERIOR: PATCHY SATURATION %%%%%%

% MODULO BULK DA ROCHA TOTALMENTE SATURADA DE GAS DE MODULO KG

$K_{fl11} = Kg1;$

$K_{11} = K_o * (phi_2 * K_d2 - (1+phi_1) * K_{fl11} * K_d2 / K_o + K_{fl11}) / ((1-phi_2) * K_{fl11} + phi_2 * K_o - K_{fl11} * K_d2 / K_o);$

% MODULO BULK DA ROCHA TOTALMENTE SATURADA DE AGUA

$K_{fl22} = Kw2;$

$K_{22} = K_o * (phi_2 * K_d2 - (1+phi_2) * K_{fl22} * K_d2 / K_o + K_{fl22}) / ((1-phi_2) * K_{fl22} + phi_2 * K_o - K_{fl22} * K_d2 / K_o);$

% CALCULO DE VP

$v_{psat2P2}(j) = (((S_{gas}(j) * ((K_{11} + (4/3)*G2)^{(-1)}) + (1-S_{gas}(j)) * ((K_{22} + (4/3)*G2)^{(-1)}))^{(-1)}) / rho_{Bsat2}(j))^{(1/2)};$

%%%%%%%%%%%%%

% MODELO 3

% oleo 50 API 125C

CURVA INFERIOR: HOMOGENEOUS SATURATION %%%%%%

% DENSIDADE DO FLUIDO (AGUA E GAS)

$rho_{fl3}(j) = S_{gas}(j) * rho_gas3 + (1-S_{gas}(j)) * rho_w3;$

% MODULO BULK DO FLUIDO(AGUA E GAS)

$K_{flH3}(j) = (S_{gas}(j) * (Kg3^{(-1)}) + (1-S_{gas}(j)) * (Kw3^{(-1)}))^{(-1)};$

% DENSIDADE DA ROCHA SATURADA

$rho_{Bsat3}(j) = rho_{fl3}(j) * phi3 + rho_g3 * (1 - phi3);$

% MODULO BULK DO FLUIDO(AGUA E GAS)

$K_{fluido3} = K_{flH3}(j);$

% MODULO BULK DA ROCHA SATURADA (EQUACAO DE GASSMAN)

$K_{sat3}(j) = K_d3 + (((1-(K_d3/K_o))^2)/(phi_3/K_{fluido3} + (1-phi_3)/K_o - K_d3/(K_o^2)));$

% CALCULO DE VP e VS

$$vpsat2H3(j) = ((Ksat3(j) + (4/3)*G3)/rhoBsat3(j))^{(1/2)};$$

CURVA SUPERIOR: PATCHY SATURATION

%%%%%%%%%%%%%

% MODULO BULK DA ROCHA TOTALMENTE SATURADA DE GAS DE MODULO KG

$$Kfl111 = Kg2;$$

$$K111 = Ko * (\phi_3 * Kd3 - (1 + \phi_3) * Kfl111 * Kd3 / Ko + Kfl111) / ((1 - \phi_3) * Kfl111 + \phi_3 * Ko - Kfl111 * Kd3 / Ko);$$

% MODULO BULK DA ROCHA TOTALMENTE SATURADA DE AGUA

$$Kfl222 = Kw3;$$

$$K222 = Ko * (\phi_3 * Kd3 - (1 + \phi_3) * Kfl222 * Kd3 / Ko + Kfl222) / ((1 - \phi_3) * Kfl222 + \phi_3 * Ko - Kfl222 * Kd3 / Ko);$$

% CALCULO DE VP e VS

$$vpsat2P3(j) = (((Sgas(j) * ((K111 + (4/3)*G3)^(-1)) + (1 - Sgas(j)) * ((K222 + (4/3)*G3)^(-1)))^(-1)) / rhoBsat3(j))^{(1/2)};$$

%%%%%%%%%%%%%

% MODELO 4

% OLEO 50 API 25C

CURVA INFERIOR: HOMOGENEOUS SATURATION %%%%%%%%%%%%%%

% DENSIDADE DO FLUIDO (AGUA E GAS)

$$rhofl4(j) = Sgas(j) * rho_gas4 + (1 - Sgas(j)) * rho_w4;$$

% MODULO BULK DO FLUIDO(AGUA E GAS)

$$KflH4(j) = (Sgas(j) * (Kg4^(-1)) + (1 - Sgas(j)) * (Kw4^(-1)))^(-1);$$

% DENSIDADE DA ROCHA SATURADA

$$rhoBsat4(j) = rhofl4(j) * phi4 + rhog4 * (1 - phi4);$$

% MODULO BULK DO FLUIDO(AGUA E GAS)

$$Kfluido4 = KflH4(j);$$

% MODULO BULK DA ROCHA SATURADA (EQUACAO DE GASSMAN)

$$Ksat4(j) = Kd4 + (((1 - (Kd4 / Ko))^2) / (phi4 / Kfluido4 + (1 - phi4) / Ko - Kd4 / (Ko^2)));$$

% CALCULO DE VP e VS

$$vpsat2H4(j) = ((Ksat4(j) + (4/3)*G4) / rhoBsat4(j))^{(1/2)};$$

CURVA SUPERIOR: PATCHY SATURATION %%%%%%%%%%%%%%

% MODULO BULK DA ROCHA TOTALMENTE SATURADA DE GAS DE MODULO
KG

Kfl1111 = Kg4;

K1111 = Ko*(phi4*Kd4 - (1+phi4)*Kfl1111*Kd4/Ko + Kfl1111)/((1-phi4)*Kfl1111 + phi4*Ko
- Kfl1111*Kd4/Ko);

% MODULO BULK DA ROCHA TOTALMENTE SATURADA DE AGUA

Kfl2222 = Kw4;

K2222 = Ko*(phi4*Kd4 - (1+phi4)*Kfl2222*Kd4/Ko + Kfl2222)/((1-phi4)*Kfl2222 + phi4*Ko
- Kfl2222*Kd4/Ko);

% CALCULO DE VP e VS

vpsat2P4(j) = (((Sgas(j)*((K1111 + (4/3)*G4)^(-1)) + (1-Sgas(j))*((K2222 + (4/3)*G4)^(-1)))^(-1))/rhoBsat4(j))^(1/2);

%%%%%%%%%%%%%%

% DIFERENÇA ENTRE Vp PATCHYs 25 e 125 C PARA cada API

%%%%%%%%%%%%%%

b = max(vpsat2P2);

Dvp10(j) = (vpsat2P2(j) - vpsat2P1(j))*1000; %*100)/b;

c = max(vpsat2P4);

Dvp50(j) = (vpsat2P4(j) - vpsat2P3(j))*1000; % *100)/c;

j=j+1;

end

GRAFICO %%%%%%%%%%%%%%

figure(1),plot(Sgas,vpsat2P1,'b-',Sgas,vpsat2P2,'v-',Sgas,vpsat2P3,'R-',Sgas,vpsat2P4,'Y-'
'Sgas,vpsat2H1,'b-',Sgas,vpsat2H2,'v-',Sgas,vpsat2H3,'R-',Sgas,vpsat2H4,'Y-')

legend('Vp_P 10 API 125','Vp_P 10 API 25','Vp_P 50 API 125','Vp_P 50 API 25','Vp_H 10
API 125','Vp_H 10 API 25','Vp_H 50 API 125','Vp_H 50 API 25');

xlabel('S_g');

ylabel('V_p (Km/s)');

figure(3),plot(Sgas,Dvp10,'r:o',Sgas,Dvp50,'b:^')

legend('10 API','50 API');

xlabel('S_g');

ylabel('Vp_2_5 - Vp_1_2_5 (m/s)');

B.3

Areia Limpa - Efeito da Pressão

```
%%%%%%%%%%%%%
% CALCULO DA VELOCIDADE VP EM FUNÇÃO DA SATURAÇÃO DE GAS
% SISTEMA AGUA-GAS
%%%%%%%%%%%%%
```

clear all

% PROPRIEDADES DOS FLUIDOS PAPER BATZLE!!

```
Kg2 = 0.025; % modulo Bulk do gas
rho_gas2 = 0.01; % densidade do gas
Kg1 = 0.1; % modulo Bulk do gas
rho_gas1 = 0.23; % densidade do gas
```

```
Kw2 = 2.25; % MODULO BULK da agua (não salgada)
rho_w2 = 1; % densidade da agua
Kw1 = 2.37; % MODULO BULK da agua
rho_w1 = 1; % densidade da agua ppm = 0
```

% PARAMETROS SEGUNDO TESE YIN AREIA 30 MPa

```
phi1 = 0.34; %
G1 = 2.2; %
Kd1 = 9.2; % modulo Bulk da rocha seca (GPa)
Ko = 36.6; % MODULO BULK do mineral
rhog = 2.65; % densidade do grão
rhod1 = rhog*(1 - phi1); % densidade da rocha seca
```

% PARAMETROS SEGUNDO TESE YIN AREIA 10 MPa

```
phi2 = 0.36; %
G2 = 1; %
Kd2 = 8.4; % modulo Bulk da rocha seca (GPa)
rhod2 = rhog*(1 - phi2); % densidade da rocha seca
```

% PARAMETROS SEGUNDO TESE YIN AREIA 22 MPa

```
% Kw2 = 2.15; % MODULO BULK da agua
% rho_w2 = 1; % densidade da agua
% rho_oleo2 = 0.75; % densidade do óleo
% Koleo2 = 1.42; % 0.85; % MODULO BULK do óleo
% phi2 = 0.36; %
% G2 = 2.0; %
% Kd2 = 8.4; % modulo Bulk da rocha seca (GPa)
% rhod2 = rhog*(1 - phi2); % densidade da rocha seca
```

```

%%%%%%%
% MODELO 1
% 30 MPa

CURVA INFERIOR: HOMOGENEOUS SATURATION %%%%%%%%
% VARIANDO A SATURACAO DA AGUA DE 0 A 1

j=1;
for i=0:0.01:1 ,
Sgas(j) = i;

% DENSIDADE DO FLUIDO (AGUA E GAS)
rhofl1(j) = Sgas(j)*rho_gas1 + (1-Sgas(j))*rho_w1;

% MODULO BULK DO FLUIDO(AGUA E GAS)
KflH1(j) = (Sgas(j)*(Kg1^(-1)) + (1-Sgas(j))*(Kw1^(-1)))^(-1);

% DENSIDADE DA ROCHA SATURADA
rhoBsat1(j) = rhofl1(j)*phi1 + rhog*(1 - phi1);

% MODULO BULK DO FLUIDO(AGUA E GAS)
Kfluido1 = KflH1(j);

% MODULO BULK DA ROCHA SATURADA (EQUACAO DE GASSMAN)
Ksat1(j) = Kd1 + (((1-(Kd1/Ko))^2)/(phi1/Kfluido1 + (1-phi1)/Ko - Kd1/(Ko^2)));

% CALCULO DE VP e VS
vpsat2H1(j) = ((Ksat1(j) + (4/3)*G1)/rhoBsat1(j))^(1/2);

CURVA SUPERIOR: PATCHY SATURATION %%%%%%%%
% MODULO BULK DA ROCHA TOTALMENTE SATURADA DE GAS DE MODULO
KG

Kfl1 = Kg1;

K1 = Ko*(phi1*Kd1 - (1+phi1)*Kfl1*Kd1/Ko + Kfl1)/((1-phi1)*Kfl1 + phi1*Ko -
Kfl1*Kd1/Ko);

% MODULO BULK DA ROCHA TOTALMENTE SATURADA DE AGUA
Kfl2 = Kw1;

K2 = Ko*( phi1*Kd1 - (1+phi1)*Kfl2*Kd1/Ko +Kfl2)/((1-phi1)*Kfl2 + phi1*Ko -
Kfl2*Kd1/Ko);

```

% CALCULO DE VP

```
vpsat2P1(j) = (((Sgas(j)*((K1 + (4/3)*G1)^(-1)) + (1-Sgas(j))*((K2 + (4/3)*G1)^(-1)))^(-1))/rhoBsat1(j))^^(1/2);
```

```
%%%%%%%%%%%%%%
```

```
% MODELO 2
```

```
% 10 MPa
```

CURVA INFERIOR: HOMOGENEOUS SATURATION %%%%%%%%%%%%%%

```
% DENSIDADE DO FLUIDO (AGUA E GAS)
```

```
rhofl2(j) = Sgas(j)*rho_gas2 + (1-Sgas(j))*rho_w2;
```

```
% MODULO BULK DO FLUIDO(AGUA E GAS)
```

```
KflH2(j) = (Sgas(j)*(Kg2^(-1)) + (1-Sgas(j))*(Kw2^(-1)))^(-1);
```

```
% DENSIDADE DA ROCHA SATURADA AQUI ERROR EM RHOFL!!!
```

```
rhoBsat2(j) = rhofl2(j)*phi2 + rhog*(1 - phi2);
```

```
% MODULO BULK DO FLUIDO(AGUA E GAS)
```

```
Kfluido2 = KflH2(j);
```

```
% MODULO BULK DA ROCHA SATURADA (EQUACAO DE GASSMAN)
```

```
Ksat2(j) = Kd2 + (((1-(Kd2/Ko))^2)/(phi2/Kfluido2 + (1-phi2)/Ko - Kd2/(Ko^2)));
```

% CALCULO DE VP e VS

```
vpsat2H2(j) = ((Ksat2(j) + (4/3)*G2)/rhoBsat2(j))^^(1/2);
```

CURVA SUPERIOR: PATCHY SATURATION %%%%%%%%%%%%%%

```
% MODULO BULK DA ROCHA TOTALMENTE SATURADA DE GAS DE MODULO KG
```

```
Kfl11 = Kg2;
```

```
K11 = Ko*(phi2*Kd2 - (1+phi2)*Kfl11*Kd2/Ko + Kfl11)/((1-phi2)*Kfl11 + phi2*Ko - Kfl11*Kd2/Ko);
```

```
% MODULO BULK DA ROCHA TOTALMENTE SATURADA DE AGUA
```

```
Kfl22 = Kw2;
```

```
K22 = Ko*( phi2*Kd2 - (1+phi2)*Kfl22*Kd2/Ko + Kfl22)/((1-phi2)*Kfl22 + phi2*Ko - Kfl22*Kd2/Ko);
```

% CALCULO DE VP e VS

```
vpsat2P2(j) = (((Sgas(j)*((K11 + (4/3)*G2)^(-1)) + (1-Sgas(j))*((K22 + (4/3)*G2)^(-1)))^(-1))/rhoBsat2(j))^^(1/2);
```

```
%%%%%%%%%%%%%
% DIFERENÇA ENTRE Vp PATCHY E HOMOGENEA PARA CADA PRESSAO
%%%%%%%%%%%%%
```

```
c = max(vpsat2P1);
vp30(j) = ((vpsat2P1(j) - vpsat2H1(j))*100)/c;
```

```
d = max(vpsat2P2);
vp10(j) = ((vpsat2P2(j) - vpsat2H2(j))*100)/d;
```

```
j=j+1;
end
```

```
GRAFICO %%%%%%
```

```
% ter grid nos graficos por padrao
```

```
set(0,'DefaultAxesXgrid','on');
set(0,'DefaultAxesXgrid','on');
set(0,'DefaultAxesXgrid','on');
```

```
figure(1),plot(Sgas,vpsat2H1,'r:',Sgas,vpsat2P1,'b-',Sgas,vpsat2H2,'r:',Sgas,vpsat2P2,'v-')
legend('Vp_H 30 MPa','Vp_P 30 MPa','Vp_H 10 MPa','Vp_P 10 MPa');
xlabel('S_g');
ylabel('V_p (Km/s)');
```

```
figure(3),plot(Sgas, vp30,'r:',Sgas, vp10,'v-')
legend('30 MPa','10 MPa');
xlabel('S_g');
ylabel('Diferença (%)');
```

B.4

Areia Limpa e Areia Argilosa - Efeito da Porosidade

```
%%%%%%%%%%%%%
```

```
% CALCULO DA VELOCIDADE VP EM FUNÇÃO DA SATURAÇÃO DE GAS
```

```
% SISTEMA AGUA-GAS
```

```
%%%%%%%%%%%%%
```

```
clear all
```

```
% PROPRIEDADES DOS FLUIDOS PAPER BATZLE!! FLUIDOS PARA 10 MPa
```

```
Kg2 = 0.02; % modulo Bulk do gas
```

```
rho_gas2 = 0.09; % densidade do gas
```

```
Kg1 = Kg2;
```

```
rho_gas1 = rho_gas2;
```

```
Kw2 = 2.25; % MODULO BULK da agua (não salgada)
```

```
Kw1 = Kw2;
```

```
rho_w2 = 1.1; % densidade da agua
```

```

rho_w1 = rho_w2;

% PROPRIEDADES DOS FLUIDOS PAPER BATZLE!! FLUIDOS PARA 30 MPa

% Kg1 = 0.1; % modulo Bulk do gas
% Kg2 = Kg1;
% rho_gas1 = 0.23; % densidade do gas
% rho_gas2 = rho_gas1;
% Kw1 = 2.37; % MODULO BULK da agua
% Kw2 = Kw1;
% rho_w1 = 1; % densidade da agua ppm = 0
% rho_w2 = rho_w1;

```

% PARAMETROS SEGUNDO TESE YIN AREIA PARA 30 MPa

```

% phi1 = 0.34; %
% G1 = 2.2; %
% Kd1 = 9.2; % modulo Bulk da rocha seca (GPa)
% Ko = 36.6; % MODULO BULK do mineral
% rhod1 = rhog*(1 - phi1); % densidade da rocha seca

rhog = 2.65; % densidade do grao

```

% PARAMETROS SEGUNDO TESE YIN AREIA PARA 15 MPa (POROSIDADES ALTA)

```

Ko2 = 36.6; % modulo Bulk do mineral
phi2 = 0.36; %
G2 = 1.5; % 1.6; %
Kd2 = 8.7; % modulo Bulk da rocha seca (GPa)
rhod2 = rhog*(1 - phi2) % densidade da rocha seca

```

% PARAMETROS SEGUNDO TESE YIN AREIA-ARGILOSA C20%PARA 15 MPa
(POROSIDADES BAIXA)

```

Ko1 = 32; % MODULO BULK do mineral
phi1 = 0.24; %
G1 = 1.2; %
Kd1 = 13; % modulo Bulk da rocha seca (GPa)
rhod1 = rhog*(1 - phi1) % densidade da rocha seca

```

```

%%%%%%%%%%%%%
% MODELO 1
% porosidade baixa

```

CURVA INFERIOR: HOMOGENEOUS SATURATION %%%%%%

% VARIANDO A SATURACAO DA AGUA DE 0 A 1

j=1;

```

for i=0:0.02:1 ,
Sgas(j) = i;

% DENSIDADE DO FLUIDO (AGUA E GAS)
rhofl1(j) = Sgas(j)*rho_gas1 + (1-Sgas(j))*rho_w1;

% MODULO BULK DO FLUIDO(AGUA E GAS)
KflH1(j) = (Sgas(j)*(Kg1^(-1)) + (1-Sgas(j))*(Kw1^(-1)))^(-1);

% DENSIDADE DA ROCHA SATURADA
rhoBsat1(j) = rhofl1(j)*phi1 + rhog*(1 - phi1);

% MODULO BULK DO FLUIDO(AGUA E GAS)
Kfluido1 = KflH1(j);

% MODULO BULK DA ROCHA SATURADA (EQUACAO DE GASSMAN)
Ksat1(j) = Kd1 + (((1-(Kd1/Ko1))^2)/(phi1/Kfluido1 + (1-phi1)/Ko1 - Kd1/(Ko1^2)));

% CALCULO DE VP e VS
vpsat2H1(j) = ((Ksat1(j) + (4/3)*G1)/rhoBsat1(j))^(1/2);

CURVA SUPERIOR: PATCHY SATURATION %%%%%%%%
% MODULO BULK DA ROCHA TOTALMENTE SATURADA DE GAS DE MODULO KG
Kfl1 = Kg1;

K1 = Ko1*(phi1*Kd1 - (1+phi1)*Kfl1*Kd1/Ko1 + Kfl1)/((1-phi1)*Kfl1 + phi1*Ko1 - Kfl1*Kd1/Ko1);

% MODULO BULK DA ROCHA TOTALMENTE SATURADA DE AGUA
Kfl2 = Kw1;

K2 = Ko1*( phi1*Kd1 - (1+phi1)*Kfl2*Kd1/Ko1 + Kfl2)/((1-phi1)*Kfl2 + phi1*Ko1 - Kfl2*Kd1/Ko1);

% CALCULO DE VP
vpsat2P1(j) = (((Sgas(j)*((K1 + (4/3)*G1)^(-1)) + (1-Sgas(j))*((K2 + (4/3)*G1)^(-1)))^(-1))/rhoBsat1(j))^(1/2);

%%%%%%%
% MODELO 2
% POROSIDADE ALTA

```

CURVA INFERIOR: HOMOGENEOUS SATURATION %%%%%%%%%%%%%%

% DENSIDADE DO FLUIDO (AGUA E GAS)

$$\text{rhofl2(j)} = \text{Sgas(j)} * \text{rho_gas2} + (1 - \text{Sgas(j)}) * \text{rho_w2};$$

% MODULO BULK DO FLUIDO(AGUA E GAS)

$$\text{KflH2(j)} = (\text{Sgas(j)} * (\text{Kg2}^{-1}) + (1 - \text{Sgas(j)}) * (\text{Kw2}^{-1}))^{-1};$$

% DENSIDADE DA ROCHA SATURADA AQUI ERROR EM RHOFL!!!

$$\text{rhoBsat2(j)} = \text{rhofl2(j)} * \text{phi2} + \text{rhog} * (1 - \text{phi2});$$

% MODULO BULK DO FLUIDO(AGUA E GAS)

$$\text{Kfluido2} = \text{KflH2(j)};$$

% MODULO BULK DA ROCHA SATURADA (EQUACAO DE GASSMAN)

$$\text{Ksat2(j)} = \text{Kd2} + (((1 - (\text{Kd2}/\text{Ko2}))^2) / (\text{phi2}/\text{Kfluido2} + (1 - \text{phi2})/\text{Ko2} - \text{Kd2}/(\text{Ko2}^2)));$$

% CALCULO DE VP e VS

$$\text{vpsat2H2(j)} = ((\text{Ksat2(j)} + (4/3) * \text{G2}) / \text{rhoBsat2(j)})^{1/2};$$

CURVA SUPERIOR: PATCHY SATURATION %%%%%%%%%%%%%%

% MODULO BULK DA ROCHA TOTALMENTE SATURADA DE GAS DE MODULO KG

$$\text{Kfl11} = \text{Kg2};$$

$$\text{K11} = \text{Ko2} * (\text{phi2} * \text{Kd2} - (1 + \text{phi2}) * \text{Kfl11} * \text{Kd2} / \text{Ko2} + \text{Kfl11}) / ((1 - \text{phi2}) * \text{Kfl11} + \text{phi2} * \text{Ko2} - \text{Kfl11} * \text{Kd2} / \text{Ko2});$$

% MODULO BULK DA ROCHA TOTALMENTE SATURADA DE AGUA

$$\text{Kfl22} = \text{Kw2};$$

$$\text{K22} = \text{Ko2} * (\text{phi2} * \text{Kd2} - (1 + \text{phi2}) * \text{Kfl22} * \text{Kd2} / \text{Ko2} + \text{Kfl22}) / ((1 - \text{phi2}) * \text{Kfl22} + \text{phi2} * \text{Ko2} - \text{Kfl22} * \text{Kd2} / \text{Ko2});$$

% CALCULO DE VP e VS

$$\text{vpsat2P2(j)} = (((\text{Sgas(j)} * ((\text{K11} + (4/3) * \text{G2})^{-1}) + (1 - \text{Sgas(j)}) * ((\text{K22} + (4/3) * \text{G2})^{-1}))^{-1}) / \text{rhoBsat2(j)})^{1/2};$$

%%%%%%%%%%%%%% DIFERENÇA ENTRE Vp PATCHY E HOMOGENEA PARA CADA PRESSAO

%%%%%%%%%%%%%% vp_phi_baixo(j) = ((vpsat2P1(j) - vpsat2H1(j)) * 100) / c;

$$c = \max(vpsat2P1);$$

$$vp_phi_baixo(j) = ((vpsat2P1(j) - vpsat2H1(j)) * 100) / c;$$

$$d = \max(vpsat2P2);$$

```

vp_phi_alto(j) = ((vpsat2P2(j) - vpsat2H2(j))*100)/d;

j=j+1;
end

GRAFICO %%%%%%%%
% ter grid nos graficos por padrao
set(0,'DefaultAxesXgrid','on');
set(0,'DefaultAxesXgrid','on');
set(0,'DefaultAxesXgrid','on');

figure(1),plot(Sgas,vpsat2H1,'b^:',Sgas,vpsat2P1,'b^-'
,'Sgas,vpsat2H2,'ro:',Sgas,vpsat2P2,'ro-')
legend('Vp_H phi = 0.24','Vp_P phi = 0.24','Vp_H phi = 0.36','Vp_P phi = 0.36');
xlabel('S_g');
ylabel('V_p (Km/s)');

figure(3),plot(Sgas, vp_phi_baixo,'b^:',Sgas, vp_phi_alto,'r:o')
legend('phi = 0.24','phi = 0.36');
xlabel('S_g');
ylabel('Diferença (%)');

```

B.5 Arenito Fontainebleu

```

%%%%%
% CALCULO DA VELOCIDADE VP EM FUNÇÃO DA SATURAÇÃO DE GAS
% INJEÇÃO DE GAS
%%%%%

```

```

% Propriedades dos fluidos PAPER BATZLE: INDICE "W" SE REFERE A OLEO
% PARAMETROS FLUIDO SUBMETIDO A 3 MPa 25OC

```

```

Kg1 = 0.007; % modulo Bulk do gas
rho_gas1 = 0.03; % densidade do gas

```

```

Kw1 = 1.31; % MODULO BULK do oleo 1.6
rho_w1 = 0.77; % densidade do oleo

```

```
% PP=3 MPa PARA 125 C
```

```

Kg2 = 0.007; % modulo Bulk do gas (GPa)
rho_gas2 = 0.02; % densidade do gas

```

```

Kw2 = 0.6; % MODULO BULK do óleo (GPa)
rho_w2 = 0.72; % densidade do óleo

```

% PP=10 MPa PARA 125 C

rho_gas3 = 0.06; % densidade do gas
Kg3 = 0.02; % modulo Bulk do gas (GPa)

Kw3 = 0.7; % MODULO BULK do óleo (GPa)
rho_w3 = 0.72; % densidade do óleo

%%%%%%%%%%%%%
% ST. FONTAINEBLEU SANDSTONE: (PACKWOOD TESE)
%%%%%%%%%%%%%

phi = 0.154; %ok
G = 19.07; % modulo cisalh da rocha seca para 5Mpa(GPa)
Kd = 18.07; % modulo Bulk da rocha seca para 5Mpa(GPa)
Ko = 38; % modulo Bulk do mineral
rhog = 2.65;
rhod = rhog*(1 - phi); % densidade da rocha seca

%%%%%%%%%%%%%
% MODELO 1

CURVA INFERIOR: HOMOGENEOUS SATURATION %%%%%%%%%%%%%%

% VARIANDO A SATURACAO DA AGUA DE 0 A 1

j=1;

for i=0:0.02:1 ,

Sgas(j) = i;

% DENSIDADE DO FLUIDO (AGUA E GAS)
rhofl1(j) = Sgas(j)*rho_gas1 + (1-Sgas(j))*rho_w1;

% MODULO BULK DO FLUIDO(AGUA E GAS)
KflH1(j) = (Sgas(j)*(Kg1^(-1)) + (1-Sgas(j))*(Kw1^(-1)))^(-1);

% DENSIDADE DA ROCHA SATURADA
rhoBsat1(j) = rhofl1(j)*phi + rhog*(1 - phi)

% MODULO BULK DO FLUIDO(AGUA E GAS)
Kfluido1 = KflH1(j);

% MODULO BULK DA ROCHA SATURADA (EQUACAO DE GASSMAN)
Ksat1(j) = Kd + (((1-(Kd/Ko))^2)/(phi/Kfluido1 + (1-phi)/Ko - Kd/(Ko^2)))

% CALCULO DE VP e VS

vpsat2H1(j) = ((Ksat1(j) + (4/3)*G)/rhoBsat1(j))^(1/2);

CURVA SUPERIOR: PATCHY SATURATION %%%%%%%%%

% MODULO BULK DA ROCHA TOTALMENTE SATURADA DE GAS DE MODULO
KG

Kfl1 = Kg1;

K1 = Ko*(phi*Kd - (1+phi)*Kfl1*Kd/Ko + Kfl1)/((1-phi)*Kfl1 + phi*Ko - Kfl1*Kd/Ko);

% MODULO BULK DA ROCHA TOTALMENTE SATURADA DE AGUA

Kfl2 = Kw1;

K2 = Ko*(phi*Kd - (1+phi)*Kfl2*Kd/Ko +Kfl2)/((1-phi)*Kfl2 + phi*Ko - Kfl2*Kd/Ko);

% CALCULO DE VP

vpsat2P1(j) = (((Sgas(j)*(K1 + (4/3)*G)^(-1)) + (1-Sgas(j))*(K2 + (4/3)*G)^(-1)))^(-1)/rhoBsat1(j))^(1/2);

%%%%%%%%%%%%%%%

% MODELO 2

CURVA INFERIOR: HOMOGENEOUS SATURATION %%%%%%%%%

% DENSIDADE DO FLUIDO (AGUA E GAS)

rhofl2(j) = Sgas(j)*rho_gas2 + (1-Sgas(j))*rho_w2;

% MODULO BULK DO FLUIDO(AGUA E GAS)

KflH2(j) = (Sgas(j)*(Kg1^(-1)) + (1-Sgas(j))*(Kw2^(-1)))^(-1);

% DENSIDADE DA ROCHA SATURADA

rhoBsat2(j) = rhofl2(j)*phi + rhog*(1 - phi)

% MODULO BULK DO FLUIDO(AGUA E GAS)

Kfluido2 = KflH2(j);

% MODULO BULK DA ROCHA SATURADA (EQUACAO DE GASSMAN)

Ksat2(j) = Kd + (((1-(Kd/Ko))^2)/(phi/Kfluido2 + (1-phi)/Ko - Kd/(Ko^2)))

% CALCULO DE VP e VS

vpsat2H2(j) = ((Ksat2(j) + (4/3)*G)/rhoBsat2(j))^(1/2);

CURVA SUPERIOR: PATCHY SATURATION %%%%%%%%%

% MODULO BULK DA ROCHA TOTALMENTE SATURADA DE GAS DE MODULO
KG

Kfl11 = Kg1;

K11 = Ko*(phi*Kd - (1+phi)*Kfl11*Kd/Ko + Kfl11)/((1-phi)*Kfl11 + phi*Ko - Kfl11*Kd/Ko);

% MODULO BULK DA ROCHA TOTALMENTE SATURADA DE AGUA

Kfl22 = Kw2;

K22 = Ko*(phi*Kd - (1+phi)*Kfl22*Kd/Ko +Kfl22)/((1-phi)*Kfl22 + phi*Ko - Kfl22*Kd/Ko);

% CALCULO DE VP

vpsat2P2(j) = (((Sgas(j)*(K11 + (4/3)*G)^(-1)) + (1-Sgas(j))*(K22 + (4/3)*G)^(-1)))^(-1)/rhoBsat2(j))^(1/2);

%%%%%%%%%%%%%

% MODELO 3

CURVA INFERIOR: HOMOGENEOUS SATURATION %%%%%%%%

% DENSIDADE DO FLUIDO (AGUA E GAS)

rhofl3(j) = Sgas(j)*rho_gas3 + (1-Sgas(j))*rho_w3;

% MODULO BULK DO FLUIDO(AGUA E GAS)

KflH3(j) = (Sgas(j)*(Kg3^(-1)) + (1-Sgas(j))*(Kw3^(-1)))^(-1);

% DENSIDADE DA ROCHA SATURADA

rhoBsat3(j) = rhofl3(j)*phi + rhog*(1 - phi);

% MODULO BULK DO FLUIDO(AGUA E GAS)

Kfluido3 = KflH3(j);

% MODULO BULK DA ROCHA SATURADA (EQUACAO DE GASSMAN)

Ksat3(j) = Kd + (((1-(Kd/Ko))^2)/(phi/Kfluido3 + (1-phi)/Ko - Kd/(Ko^2)));

% CALCULO DE VP e VS

vpsat2H3(j) = ((Ksat3(j) + (4/3)*G)/rhoBsat3(j))^(1/2);

CURVA SUPERIOR: PATCHY SATURATION %%%%%%%%

% MODULO BULK DA ROCHA TOTALMENTE SATURADA DE GAS DE MODULO
KG

Kfl111 = Kg2;

K111 = Ko*(phi*Kd - (1+phi)*Kfl111*Kd/Ko + Kfl111)/((1-phi)*Kfl111 + phi*Ko -
Kfl111*Kd/Ko);

% MODULO BULK DA ROCHA TOTALMENTE SATURADA DE AGUA

```
Kfl222 = Kw3;
K222 = Ko*( phi*Kd - (1+phi)*Kfl222*Kd/Ko + Kfl222)/((1-phi)*Kfl222 + phi*Ko -
Kfl222*Kd/Ko);
```

% CALCULO DE VP e VS

```
vpsat2P3(j) = (((Sgas(j)*((K111 + (4/3)*G)^(-1)) + (1-Sgas(j))*((K222 + (4/3)*G)^(-1)))^(-1))/rhoBsat3(j))^(1/2);
```

```
j=j+1;
end
```

GRAFICO %%%%%%%%%%%%%%

```
figure(1),plot(Sgas,vpsat2P1,'b^-',Sgas,vpsat2H1,'b^-',Sgas,vpsat2P2,'ro-
',Sgas,vpsat2H2,'ro:',Sgas,vpsat2P3,'v-',Sgas,vpsat2H3,'v:')
legend('Vp_P 3 MPa 25','Vp_H 3 MPa 25','Vp_P 3 MPa 125','Vp_H 3 MPa 125','Vp_P 10
MPa 125','Vp_H 10 MPa 125');
xlabel('S_g');
ylabel('V_p (Km/s);
```

APÊNDICE C

Código MATLAB:

Upscaling da Saturação

Limite Homogêneo e Patchy

Cálculo de V_p e Impedância Acústica

Nesta seção são apresentadas as rotinas desenvolvidas no MATLAB para fazer a ligação entre simulação de fluxo e modelagem sísmica. São calculados os limites homogêneo e heterogêneo da velocidade compressional segundo a saturação de gás. Além disso, o *upscaleing* das saturações e velocidades é feito para escala sísmica e a partir desses valores é calculada a impedância acústica e a variação desta com o tempo. Os modelos utilizados para o cálculo da velocidade compressional são o proposto por Gassmann (1951) e o apresentado por Mavko & Jizba (1991). Essas implementações são utilizadas nas análises realizadas no Capítulo 4 e Capítulo 5.

C.1.

Método de Gassmann: V_p para escala fina e grossa

```
clear
```

```
DECLARACAO DE VARIAVEIS %%%%%%%%
```

```
numerocamadas=80;
colunamodelo=240;
saturacaoaguaresidual=0.20;
saturacaooleoresidual=0.15;
saturacaogasresidual=0.02;
linhasfase=24;
nfases=4
intervalocamadasSat=numerocamadas*(linhasfase+1);
intervalodiasSat=1+nfases*intervalocamadasSat;
Sar=saturacaoaguaresidual;
Sor=saturacaooleoresidual;
Sgr=saturacaogasresidual;
TempReserv=60;
phi=0.3;
```

CARREGANDO ARQUIVOS COM OS DADOS %%%%%%%%%%%%%%

```
[DADOSSAT1]=xlsread('...implementações\Gassmann\sim009_t=0.xls');
linhaMatrizSat1=size(DADOSSAT1,1);
colunaMatrizSat1=size(DADOSSAT1,2);
[DADOSSAT2]=xlsread('...implementações\Gassmann\sim009_t=500.xls');
linhaMatrizSat2=size(DADOSSAT2,1);
colunaMatrizSat2=size(DADOSSAT2,2);
p1=linhaMatrizSat1/intervalodiasSat;
p2=linhaMatrizSat2/intervalodiasSat;
```

OBTENCAO DOS MAPAS DE SATURACAO GAS %%%%%%%%%%%%%%

```
a=1;
b=(intervalocamadasSat*3)+3;
for n=1:p1;
    k=b;
    for m=1:numerocamadas;
        for i=k:k+linhasfase-1;
            for j=1:colunaMatrizSat1;
                SAT(m,a,n)= DADOSSAT1(i,j);
                a = a+1;
            end
        end
        k=i+2;
        a=1;
    end
    b=b+intervalodiasSat;
end

a=1;
b=(intervalocamadasSat*3)+3;
for n=(p1+1):p1+p2;
    k=b;
    for m=1:numerocamadas;
        for i=k:k+linhasfase-1;
            for j=1:colunaMatrizSat2;
                SAT(m,a,n)= DADOSSAT2(i,j);
                a = a+1;
            end
        end
        k=i+2;
        a=1;
    end
    b=b+intervalodiasSat;
end
```

UPSCALING %%%%%%%%%%%%%%

```
celulalinhaup=20;
celulacolunaup=40;
colunaup=fix(size(SAT,2)/celulacolunaup);
```

```

linhaup=size(SAT,1)/celulalinhaup;
for k=1:size(SAT,3);
    for i=1:linhaup;
        for j=1:colunaup;
            UPSCALSAT(i,j,k)=sum(sum(SAT(1+celulalinhaup*(i-1):celulalinhaup*i,1+celulacolunaup*(j-1):celulacolunaup*j,k)))/(celulacolunaup*celulalinhaup);
        end
    end
end

```

DEFINICAO DE PARAMETROS %%%%%%

```

% 1 psi/ft = 2.306 g/cm3
% 1 psi = 6894.79 Pa
% 1 psi = 14.5 Bar
% 1 psi = 70.3 g/cm2
% 1 ft = 30,48 cm
% 1 libra = 453.6 g
% 1 libra/ft3 = 0.016g/cm3;

```

densg = 2.650;	% densidade do quartzo (g/cm3)
K0=36.6;	% modulo Bulk do quartzo(GPa)
Kd=9.2;	% MODULO BULK da rocha seca(GPa)
G=2.2;	% modulo de Shear da rocha(GPa)
Kgas=0.04;	% MODULO BULK do gas(GPa)
Koleo=1.15;	% MODULO BULK do oleo(GPa)
Kagua=2.25;	% MODULO BULK da agua(GPa)
densagua=1;	% densidade da agua(g/cm3)
densoleo=0.848;	% densidade do oleo(g/cm3)
densgas=0.0375;	% densidade do gas(g/cm3)

CALCULO DE VELOCIDADE %%%%%%

```

% MODULO BULK da rocha totalmente saturada de agua
K1 = Kd + (((1-(Kd/K0))^2)/(phi/Kagua + (1-phi)/K0 - Kd/(K0^2)));

```

```

% MODULO BULK da rocha totalmente saturada de oleo
K2 = Kd + (((1-(Kd/K0))^2)/(phi/Koleo + (1-phi)/K0 - Kd/(K0^2)));

```

```

% MODULO BULK da rocha totalmente saturada de gas
K3 = Kd + (((1-(Kd/K0))^2)/(phi/Kgas + (1-phi)/K0 - Kd/(K0^2)));

```

```

j=1;
% variando a saturacao da gas de 0 a 1
for i=0:0.01:1;
    Sw(j) = i;

```

```

% densidade do fluido (agua, oleo e gas 60C)
densfl(j) = Sw(j)*densgas + (1-Sw(j))*densoleo;

```

% densidade da rocha saturada

```

densrochasat(j) = densfl(j)*phi + densg*(1-phi);

Saturacao Homogenea %%%%%%%%
% MODULO BULK do fluido(agua e oleo)
Kfl(j) = (Sw(j)*(Kgas^(-1)) + (1-Sw(j))*(Koleo^(-1)))^(-1);

% MODULO BULK da rocha saturada
KsatH(j) = Kd + (((1-(Kd/K0))^2)/(phi/Kfl(j) + (1-phi)/K0 - Kd/(K0^2)));

% calculo de VP e VS
vpsatH(j) = ((KsatH(j) + (4/3)*G)/densrochasat(j))^(1/2)*1000;
vssatH(j) = (G/densrochasat(j))^(1/2)*1000;

Patchy saturation %%%%%%%%
KsatP(j) = (Sw(j)*((K3 + (4/3)*G)^(-1)) + (1-Sw(j))*((K2 +(4/3)*G)^(-1)))^(-1) - (4/3)*G;

% calculo de VP e VS
vpsatP(j) = ((KsatP(j) + (4/3)*G)/densrochasat(j))^(1/2)*1000;
vssatP(j) = (G/densrochasat(j))^(1/2)*1000;
j=j+1;
end

Patchy Modificado %%%%%%%%
for k=1:size(SAT,3);
    for i=1:linhaup;
        for j=1:colunaup;
            So=1-UPSCALSAT(i,j,k);
            densfl = UPSCALSAT(i,j,k)*densgas+(So-Sar)*densoleo+Sar*densagua;
            densrochasat2(i,j,k) = densfl*phi + densg*(1-phi);

            Kf1 = ((1-Sor-Sgr)/Kagua + Sor/Koleo + Sgr/Kgas)^(-1);
            Kf2 = (Sar/Kagua + (1-Sar-Sgr)/Koleo + Sgr/Kgas)^(-1);
            Kf3 = (Sar/Kagua + Sor/Koleo + (1-Sor-Sar)/Kgas)^(-1);
            Kar = K0*(Kd/(K0-Kd) + Kfl/(phi*(K0-Kf1)))/(1 + Kd/(K0-Kd) + Kfl/(phi*(K0-Kf1)));
            Kor = K0*(Kd/(K0-Kd) + Kf2/(phi*(K0-Kf2)))/(1 + Kd/(K0-Kd) + Kf2/(phi*(K0-Kf2)));
            Kgr = K0*(Kd/(K0-Kd) + Kf3/(phi*(K0-Kf3)))/(1 + Kd/(K0-Kd) + Kf3/(phi*(K0-Kf3)));
            Sf3(i,j,k) = (UPSCALSAT(i,j,k)-Sgr)/(1-Sar-Sor-Sgr);
            Sf2(i,j,k) = (So-Sor-Sar)/(1-Sar-Sor-Sgr);

            Kmp(i,j,k) = (Sf3(i,j,k)/(Kgr + 4*G/3) + Sf2(i,j,k)/(Kor + 4*G/3))^(-1) - 4*G/3 ;

            %% VP, VS, IMPEDANCIA e DENSIDADE
            UPSCALVP(i,j,k) = ((Kmp(i,j,k) + (4/3)*G)/densrochasat2(i,j,k))^(1/2)*1000;
            UPSCALVS(i,j,k) = (G/densrochasat2(i,j,k))^(1/2)*1000;
            UPSCALIMPED(i,j,k)=UPSCALVP(i,j,k)*densrochasat2(i,j,k)*1000000;
        end
    end
end

```

```

VP=UPSCALVP;
VS=UPSCALVS;
IMPED=UPSCALIMPED;
DENS=densrochasat2;CONSTRUCAO DOS GRAFICOS

```

```
%%%%%%%%%%%%%
```

```

x1=0:1.25:1.25*(linhasfase*10-1);
z1=0:1:1*(numerocamadas-1);
x2=0:50:50*(colunaup-1);
z2=0:20:20*(linhaup-1);

for t=2:5:11;
    figure(t),plot(UPSCALSAT(:,:,t),UPSCALVP(:,:,t),'ro',Sw,vpsatH,'g*',Sw,vpsatP,'b*'),
    hold on;
end

```

C.2.

Método de Mavko & Jizba: V_p para escala fina e grossa

```
clear
```

```
DECLARACAO DE VARIAVEIS %%%%%%
```

```

numerocamadas=80;
%linhamodelo=270;
colunamodelo=240;
saturacaoaguaresidual=0.20;
saturacaooleoresidual=0.15;
saturacaogasresidual=0.02;
linhasfase=24;
nfases=4;
intervalocamadasSat=numerocamadas*(linhasfase+1);
intervalodiasSat=1+nfases*intervalocamadasSat;
Sar=saturacaoaguaresidual;
Sor=saturacaooleoresidual;
Sgr=saturacaogasresidual;
TempReserv=60;
phi=0.3;
aa=2.5;
c=0;

```

```
CARREGANDO ARQUIVOS COM OS DADOS %%%%%%
```

```

[DADOSSAT1]=xlsread('...implementações\Gassmann\sim009_t=0.xls');
linhaMatrizSat1=size(DADOSSAT1,1);
colunaMatrizSat1=size(DADOSSAT1,2);
[DADOSSAT2]=xlsread('...implementações\Gassmann\sim009_t=500.xls');
linhaMatrizSat2=size(DADOSSAT2,1);
colunaMatrizSat2=size(DADOSSAT2,2);
p1=linhaMatrizSat1/intervalodiasSat;

```

```
p2=linhaMatrizSat2/intervalodiasSat;
```

OBTENCAO DOS MAPAS DE SATURACAO GAS %%%%%%%%%%%%%%

```
a=1;
b=(intervalocamadasSat*3)+3;
for n=1:p1;
    k=b;
    for m=1:numerocamadas;
        for i=k:k+linhasfase-1;
            for j=1:colunaMatrizSat1;
                SAT(m,a,n)= DADOSSAT1(i,j);
                a = a+1;
            end
        end
        k=i+2;
        a=1;
    end
    b=b+intervalodiasSat;
end
```

```
a=1;
b=(intervalocamadasSat*3)+3;
for n=(p1+1):p1+p2;
    k=b;
    for m=1:numerocamadas;
        for i=k:k+linhasfase-1;
            for j=1:colunaMatrizSat2;
                SAT(m,a,n)= DADOSSAT2(i,j);
                a = a+1;
            end
        end
        k=i+2;
        a=1;
    end
    b=b+intervalodiasSat;
end
```

UPSCALING %%%%%%%%%%%%%%

```
celulalinhaup=20;
celulacolunaup=40;
colunaup=fix(size(SAT,2)/celulacolunaup);
linhaup=size(SAT,1)/celulalinhaup;
for k=1:size(SAT,3);
    for i=1:linhaup;
        for j=1:colunaup;
            UPSCALSAT(i,j,k)=sum(sum(SAT(1+celulalinhaup*(i-1):celulalinhaup*i,1+celulacolunaup*(j-1):celulacolunaup*j,k)))/(celulacolunaup*celulalinhaup);
        end
    end
end
```

```
end
end
```

DEFINICAO DE PARAMETROS %%%%%%%%

```
% 1 psi/ft = 2.306 g/cm3
% 1 psi = 6894.79 Pa
% 1 psi = 14.5 Bar
% 1 psi = 70.3 g/cm2
% 1 ft = 30,48 cm
% 1 libra = 453.6 g
% 1 libra/ft3 = 0.016g/cm3;
```

densg = 2.650;	% densidade do quartzo (g/cm3)
K0=36.6;	% modulo Bulk do quartzo(GPa)
Kd=9.2;	% MODULO BULK da rocha seca(GPa)
G=2.2;	% modulo de Shear da rocha(GPa)
Kgas=0.04;	% MODULO BULK do gas(GPa)
Koleo=1.15;	% MODULO BULK do oleo(GPa)
Kagua=2.25;	% MODULO BULK da agua(GPa)
densagua=1;	% densidade da agua(g/cm3)
densoleo=0.848;	% densidade do oleo(g/cm3)
densgas=0.0375;	% densidade do gas(g/cm3)

CALCULO DE VELOCIDADE %%%%%%%%

```
% MODULO BULK da rocha totalmente saturada de agua
K1 = Kd + (((1-(Kd/K0))^2)/(phi/Kagua + (1-phi)/K0 - Kd/(K0^2)));
```

```
% MODULO BULK da rocha totalmente saturada de oleo
K2 = Kd + (((1-(Kd/K0))^2)/(phi/Koleo + (1-phi)/K0 - Kd/(K0^2)));
```

```
% MODULO BULK da rocha totalmente saturada de gas
K3 = Kd + (((1-(Kd/K0))^2)/(phi/Kgas + (1-phi)/K0 - Kd/(K0^2)));
```

```
j=1;
% variando a saturacao da gas de 0 a 1
for i=0:0.01:1;
Sw(j) = i;
```

```
% densidade do fluido (agua, oleo e gas 60C)
densfl(j) = Sw(j)*densgas + (1-Sw(j))*densoleo;
```

```
% densidade da rocha saturada
densrochasat(j) = densfl(j)*phi + densg*(1-phi);
```

Saturacao Homogenea %%%%%%%%

```
% MODULO BULK do fluido(agua e oleo)
Kfl(j) = (Sw(j)*(Kgas^(-1)) + (1-Sw(j))*(Koleo^(-1)))^(-1);
```

```
% MODULO BULK da rocha saturada
KsatH(j) = Kd + (((1-(Kd/K0))^2)/(phi/Kfl(j) + (1-phi)/K0 - Kd/(K0^2)));
% calculo de VP e VS
vpsatH(j) = ((KsatH(j) + (4/3)*G)/densrochasat(j))^(1/2)*1000;
vssatH(j) = (G/densrochasat(j))^(1/2)*1000;

Patchy saturation %%%%%%%%
KsatP(j) = (Sw(j)*((K3 + (4/3)*G)^(-1)) + (1-Sw(j))*((K2 +(4/3)*G)^(-1)))^(-1) - (4/3)*G;
% calculo de VP e VS
vpsatP(j) = ((KsatP(j) + (4/3)*G)/densrochasat(j))^(1/2)*1000;
vssatP(j) = (G/densrochasat(j))^(1/2)*1000;
j=j+1;
end
```

EQUAÇÕES DE JIZBA PRA CALCULO DOS MODULOS NAO RELAXADOS %%%%%

Kdnr = 34 - 79*(phi + c/2.4);

Gnr = (1/G - 4/15*(1/Kdnr - 1/Kd))^-1;

Kdj = Kdnr;
Gj = Gnr;

Patchy Modificado %%%%%%%%

```
for k=1:size(SAT,3);
for i=1:linhaup;
for j=1:colunaup;
So=1-UPSCALSAT(i,j,k);
densfl = UPSCALSAT(i,j,k)*densgas+(So-Sar)*densoleo+Sar*densagua;
densrochasat2(i,j,k) = densfl*phi + densg*(1-phi);

Kf2 = (Sar/Kagua + (1-Sar-Sgr)/Koleo + Sgr/Kgas)^(-1);
Kf3 = (Sar/Kagua + Sor/Koleo + (1-Sor-Sar)/Kgas)^(-1);
Kor = K0*(Kdj/(K0-Kdj) + Kf2/(phi*(K0-Kf2)))/(1 + Kdj/(K0-Kdj) + Kf2/(phi*(K0-Kf2)));
Kgr = K0*(Kdj/(K0-Kdj) + Kf3/(phi*(K0-Kf3)))/(1 + Kdj/(K0-Kdj) + Kf3/(phi*(K0-Kf3)));
Sf3(i,j,k) = (UPSCALSAT(i,j,k)-Sgr)/(1-Sar-Sor-Sgr);
Sf2(i,j,k) = (So-Sor-Sar)/(1-Sar-Sor-Sgr);
```

EQUAÇÕES PRA CALCULO da velocidade %%%%%%%%

```
% OR
rho11_or(i,j,k) = densrochasat2(i,j,k); % matriz 4x6x11
rho22_or = aa*phi*densfl; % upscaled
rho12_or = (1-aa)*phi*densfl; % upscaled
D1 = 1 - phi - Kdj/K0 + phi*(K0/Kf2);
```

```

Q1 = phi*(Kor - Kdj)*(1 - phi - Kdj/K0)/(1 - Kdj/K0)^2; % Ksat = Kor
R1 = phi^2*(Kor - Kdj)/(1 - Kdj/K0)^2;
P1 = (Kor - Kdj)*((1-phi)*(1 - phi - Kdj/K0) + phi*Kdj/Kf2)/(1 - Kdj/K0)^2 + 4/3*Gj;
B1(i,j,k) = rho11_or(i,j,k)*rho22_or - rho12_or^2;
A1(i,j,k) = P1*rho22_or + R1*rho11_or(i,j,k) - 2*Q1*rho12_or;

Vp_biot_or(i,j,k) = sqrt((A1(i,j,k) + sqrt((A1(i,j,k))^2 - 4*B1(i,j,k)*(P1*R1 -
Q1^2)))/(2*B1(i,j,k)));
Vs_biot_or(i,j,k) = sqrt(Gj/(rho11_or(i,j,k) - rho12_or^2/rho22_or));

% GR
rho11_gr(i,j,k) = densrochasat2(i,j,k); % matriz 4x6x11
rho22_gr = aa*phi*densfl; % upscaled
rho12_gr = (1-aa)*phi*densfl; % upscaled
D2 = 1 - phi - Kdj/K0 + phi*(K0/Kf3);
Q2 = phi*(Kgr - Kdj)*(1 - phi - Kdj/K0)/(1 - Kdj/K0)^2;
R2 = phi^2*(Kgr - Kdj)/(1 - Kdj/K0)^2;
P2 = (Kgr - Kdj)*((1-phi)*(1 - phi - Kdj/K0) + phi*Kdj/Kf3)/(1 - Kdj/K0)^2 + 4/3*Gj;
B2 = rho11_gr*rho22_gr - rho12_gr^2;
A2 = P2*rho22_gr + R2*rho11_gr - 2*Q2*rho12_gr;

Vp_biot_gr(i,j,k) = sqrt((A2(i,j,k) + sqrt((A2(i,j,k))^2 - 4*B2(i,j,k)*(P2*R2 -
Q2^2)))/(2*B2(i,j,k)));
Vs_biot_gr(i,j,k) = sqrt(Gj/(rho11_gr(i,j,k) - rho12_gr^2/rho22_gr));

UPSCALVP(i,j,k) = (Vp_biot_or(i,j,k)+ Vp_biot_gr(i,j,k))/2*1000;
UPSCALVS(i,j,k) = (Vs_biot_or(i,j,k) + Vs_biot_gr(i,j,k))/2*1000;

Kmp(i,j,k) = (UPSCALVP(i,j,k))^2*densrochasat2(i,j,k)/1000000 - (4/3)*Gj;

%% VP, VS, IMPEDANCIA e DENSIDADE
UPSCALIMPED(i,j,k)=UPSCALVP(i,j,k)*densrochasat2(i,j,k)*1000000;
end
end
end

VP=UPSCALVP;
VS=UPSCALVS;
IMPED=UPSCALIMPED;
DENS=densrochasat2;

CONSTRUCAO DOS GRAFICOS %%%%%%%%
% Eixo dos graficos
x1=0:1.25:1.25*(linhasfase*10-1);
z1=0:1:1*(numerocamadas-1);
x2=0:50:50*(colunaup-1);
z2=0:20:20*(linhaup-1);
for t=2:5:11;
figure(t),plot(UPSCALSAT(:,:,t),UPSCALVP(:,:,t),'ro',Sw,vpsatH,'g*',Sw,vpsatP,'b*'), hold
on;
end

```